

(4) 将  $\phi 3\text{ mm}$  488 nm 氩离子激光束经裂隙灯及前置镜导在游标尺上, 由目镜上读出该光斑在分划板上放大像所占的格数  $A$  为 25, 其放大像值为  $25 \times 41 = 1025(\mu\text{m})$

(5) 求出角膜表面的光斑直径:

$$d = \frac{A \times B}{K_{物}} = \frac{25 \times 41}{1.23} \approx 833(\mu\text{m})$$

(西安医科大学第一附属医院激光医学研究室  
党治平 安晓岳 李玉俊  
西安 1001 厂 陈宽林 黄象钦 张红)

## 兔眼对 $\text{Ar}^+$ 激光透射率的测量

**Abstract:** The measurement of transmissivity of 488nm argon laser light through refractive system of the rabbit's eyes in vitro is reported in this paper.

为了测得  $\text{Ar}^+$  激光对视网膜的损伤阈  $ED_{50}$  值, 设计了使用离体兔眼球后巩膜开孔的方法, 测量出兔眼屈光介质对波长为 488 nm  $\text{Ar}^+$  激光的透射率。据此以及测微尺测得的网膜光斑直径, 计算出了网膜的  $ED_{50}$  值。

人眼的透射率和其它哺乳动物(如兔、猫、猴及牛)眼的透射率大致相同。因此, 该透射率给用  $\text{Ar}^+$  激光研究和治疗眼底疾患提供了量的依据。

### 一、测量方法

用 488 nm 的氩激光作光源, 激光束经过裂隙灯, 测量在裂隙灯后进行。光路图见图 1。

激光输出功率稳定性  $<2\%$ , 我们采用交替法, 多次反复地测量眼球前和穿过眼球后的激光功率。对每个眼球分别用不同能量至少测三次, 再取平均值。共选用了 4 个眼球。

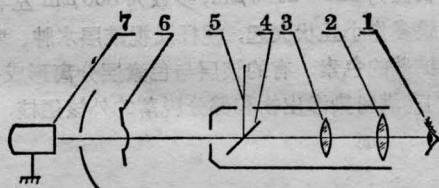


图 1 兔眼屈光介质透射率测量光路示意图

1. 观察眼; 2. 目镜; 3. 物镜; 4.  $45^\circ$  反射镜;  
5. 激光光束; 6. 被测兔眼; 7. 激光功率计  
(2,3,4 为裂隙灯系统)

为使激光束能完全进入眼球内, 通过屈光介质并由功率计接收, 测其能量。将兔眼充分散瞳, 眼球摘除后, 立即在后部巩膜开一小孔, 孔的直径约为 3 mm, 以激光束能无阻挡的从小孔射出为原则。

### 附表 测量数据

眼球号	巩膜位置	激光功率 (mW)	经眼球后的 激光功率 (mW)	透射率 (%)	平均透射率 (%)
1	视盘下 视区网 膜处	16.4	14.8	90.4	90.2
		21.6	19.5	90.5	
		33.0	29.1	88.3	
		38.2	34.9	91.4	
2	同 上	18.5	16.3	88.3	90.1
		28.2	25.2	89.5	
		38.1	33.3	87.3	
3	同 上	16.5	15.1	91.8	91.5
		24.0	22.0	91.8	
		40.0	36.4	91.0	
4	视 盘	17.0	15.9	93.6	94.1
		25.5	21.4	94.5	
		40.5	38.1	94.1	

# Applied Physics B

## Photo-physics and Laser Chemistry

Springer-Verlag  
Berlin Heidelberg New York Tokyo

Vol. B38·No. 1·September 1985

### Contributed Papers

R. Castell, W. Demtröder, A. Fischer,

R. Kullmer, H. Weickenmeier, K. Wickert  
The Accuracy of Laser Wavelength Meters 1

K. Chan, H. Ito, H. Inaba, T. Furugya  
10 km-Long Fibre-Optic Remote Sensing of CH<sub>4</sub>  
Gas by Near Infrared Absorption 11

R. J. Manning, J. R. Hill

Photoconductive Response Times of Si-on-Sapphire  
Damaged with Si<sup>28</sup> Ions 17

N. Ioli, V. Panchenko, M. Pellegrino,

F. Strumia

Amplification and Saturation in a CO<sub>2</sub> Waveguide  
Amplifier 23

B. Danielzik, K. Nattermann,

D. von der Linde

Nanosecond Optical Pulse Shaping in Cadmium-  
Sulfide-Selenide Glasses 31

### K. Uehara

Alternate Intensity Modulation of a Dual-  
Wavelength He-Ne Laser for Differential  
Absorption Measurements 37

E. Fischer, Z. Rozkwitalski, F. K. Kneubühl  
Self-Field MPD Thruster with Atomic and  
Molecular Propellants 41

D. K. Evans, H. M. Adams

Multiphoton Absorption and Luminescence of  
Osmium Tetroxide 51

B. D. Cannon, T. J. Whitaker

A New Laser Concept for Isotopically Selective  
Analysis of Noble Gases 57

U. Krönert, J. Bonn, H.-J. Kluge, W. Ruster,  
K. Wallmeroth, P. Peusir, N. Trautmann  
Laser Resonant Ionization of Plutonium 65

H. Ambar, Y. Aoki, N. Takai, T. Asakura

Mechanism of Speckle Reduction in Laser-  
Microscope Images Using a Rotating Optical  
Fiber 71

### Forthcoming Papers: Abstracts A5

Contents of Applied Physics A

Volume 38, Number 1, September 1985 A5

Contents of Chinese Journal of Lasers

Volume 12, Number 9, September 1985 A6

Indexed in Current Contents

Evaluated for Physics Briefs and

INKA-PHYS data base

## 二、结果与分析

孔位开在视盘下视区网膜处,透射率为90.1%,孔位开在视盘处,透射率为94.1%。测量数据见附表。

由表可见:

- 同一眼球对不同能量的激光的透射率稍有差异。属测量误差。
- 不同眼球对相同能量的激光其透射率不同,考虑是个体差异及离体后的眼球眼轴稍有改变所致。
- 透射率与光束通过眼球的网膜位置关系较

大,光束通过视盘处巩膜孔比通过视盘下视区所开的巩膜孔透射率高。主要原因有两个:一是巩膜孔的位置不同,眼轴不同,则光束在眼球内经过的光程不同,导致了透射率的差异;二是开孔后眼内玻璃体有少量流失,而流失程度不同,影响了激光的透射率。

据有关文献报道,兔眼屈光介质对Ar<sup>+</sup>激光吸收10%,即兔眼对Ar<sup>+</sup>激光透射率为90%,我们测得的数据与其吻合,是可信的。

(西安医学院附属一院激光室)

李玉俊 党治平 赵桐真)